



تشخیص الفبای دستی فارسی ناشنوایان مبتنی بر اطلاعات نرمال سازی شده در تصاویر ژرفای

شهاب رجبی^۱، امیر موسوی‌نیا^۲

^۱ فارغ‌التحصیل کارشناسی ارشد مهندسی برق، گروه الکترونیک، دانشگاه صنعتی خواجه نصیرالدین طوسی، sh.rajabi@ee.kntu.ac.ir

^۲ دانشیار، دانشکده مهندسی کامپیوتر، گروه معماری کامپیوتر، دانشگاه صنعتی خواجه نصیرالدین طوسی، moosavie@kntu.ac.ir

پذیرش: ۱۳۹۷/۱۰/۱۰

ویرایش: ۱۳۹۷/۰۹/۱۰

دریافت: ۱۳۹۷/۰۶/۱۰

چکیده: پس از ارائه دستگاه کینکت، محصول شرکت مایکروسافت گزارش‌های بسیاری از کاربرد این دستگاه در تشخیص حالت دست و انگشتان منتشر شده است. در بیشتر این کاربرد ها اطلاعات ژرفای تنها برای جداسازی تصویر دست از پس زمینه استفاده شده و پردازش اصلی بر روی تصاویر ویدیویی و در فضای دو بعدی انجام شده است. در این مقاله روشی ارائه می‌شود که اطلاعات ژرفای نقش پر رنگ تری در پردازش دارند. با کمک روش آستانه گذاری مبتنی بر ژرفای، ابتدا قالب دست شخص در فضای سه بعدی استخراج می‌شود. سپس در فضای سه بعدی، راستای عمود برکف دست پیدا شده و با استفاده از ماتریس‌های دوران و انتقال، این راستا با راستای دوربین همسو می‌شود. به این ترتیب دورانهای دست حول محورهای پیچ و یا و از تصویر حذف شده و با استفاده از ماتریس انتقال، تصویر دست در فاصله مشخصی از دوربین قرار می‌گیرد. در مرحله بعد، از دو ابزار تبدیل موجک و یک توصیفگر جدید به نام توصیفگر دایروی که در این سیستم معرفی شده است برای استخراج ویژگی ها استفاده می‌شود. یک شبکه های عصبی، غربالگری اولیه را در ویژگی های استخراج شده توسط تبدیل موجک انجام داده و سپس توصیفگر دایروی با استفاده از ماشین بردار پشتیبان بازناسی حرفاً موردنظر را به اتمام می‌رساند. در آزمایش‌های عملی با کمک اطلاعات برخط سنسور کینکت دقت شناسایی حرروف الفبای فارسی ۹۶.۷٪ و تاخیر ۲ ثانیه برای هر علامت بدست آمدہ است.

کلمات کلیدی: الفبای ایستای فارسی ناشنوایان، سنسور کینکت، تبدیل موجک، توصیفگر دایروی، شبکه عصبی

Persian sign language detection based on normalized depth image information

Shahab Rajabi, Amir Mousavinia

Abstract: There are many reports of using the Kinect to detect hand and finger gestures after release of device by Microsoft. The depth information is mostly used to separate the hand image in the two-dimension of RGB domain. This paper proposes a method in which the depth information plays a more dominant role. Using a threshold in depth space first the hand template is extracted. Then in 3D domain the perpendicular vector to the hand surface is found. Using the rotation matrix all the rotations along three axes are compensated in a way that the camera z- coordinate lies perpendicular to hand surface. Then the resulted 3d image is translated to a distance of 80 to 100 cm from the Kinect. Wavelet transform with a new descriptor, called Circular Descriptor are used to extract required features. A trained MLP neural network in conjunction with a SVM is used to classify the signs. Empirical results show an average accuracy of 96.7 % with a two seconds delay for online recognition of Persian Sign Language.

Keywords: Persian sign language, deaf people, Kinect sensor, wavelet, circular descriptor.

۱- مقدمه

روش‌های اشاره شده غالباً اطلاعات زمانی را مدل می‌نمایند و قادر به انطباق گستره وسیعی از کلمات اشاره نیستند. برای حل این مشکل با توجه به اینکه حافظه طولانی کوتاه مدت می‌تواند اطلاعات توالی زمانی را به خوبی مدل کند، در [۱۰] با روش هدف-به-هدف، بازنایی زبان اشاره بر اساس LSTM^۴ پیشنهاد شده است. این روش با توجه به مسیرهای حرکتی، چهار مفصل اسلکتی به عنوان ورودی و بدون در نظر گرفتن داشن پیشین و عاری از ویژگی‌های صریح استفاده می‌شود.

آلمنیا روشی برای بازنایی الفبای بزری ناشنوایان ارایه داده است که در ابتدا هفت ویژگی بینایی از تصاویر RGB به دست می‌آورد. هر ویژگی مربوط به یک، دو یا سه عنصر ساختاری در الفبای اشاره پیشیله طبقه‌بندی بردار پشتیبان، بازنایی حرکات و عناصر ساختاری بر اساس شکل حرکت و موقعیت آن محاسبه می‌شود. در پایان بوسیله طبقه‌بندی بردار پشتیبان، بازنایی انجام می‌شود. نتایج دقت ۰/۸٪ را در این الگوریتم نشان می‌دهد [۱۱].

فیلترهای ذره‌ای نیز در بازنایی ژست انسان نقش ویژه‌ای دارند. لیم در یک تحقیق، یک فیلتر سریالی مبتنی بر ماتریس کوواریانس را برای تشخیص زبان اشاره پیشنهاد داده است. پس از انجام مراحل پیش پردازش و ردیابی ژست، با کمک این فیلتر دست در دنبالهای از فریم‌ها علامت‌گذاری شده و به صورت هم‌زمان هر دو دست ردیابی می‌شود. سپس با تولید ماتریس کوواریانس ویژگی اطراف ناحیه ردیابی شده و کاهش ابعاد، بازنایی زبان اشاره آمریکایی با نرخ ۸۷/۳٪ انجام می‌دهد [۱۲].

ژایو نیز مدل رفتاری را با یک گراف برچسب‌گذاری نموده و طبقه‌بندی را با تطابق گراف از یک پاپگاه داده و تصویر ورودی انجام می‌دهد [۱۳]. برای جلوگیری از پیچیدگی‌های این تطابق، یک کرنل گراف برای افزایش سرعت و هم‌چنین دقت بالاتر معروفی می‌شود. برای جلوگیری از چالش تشخیص علامت‌ها در توالی‌های به هم پیوسته ویدیویی از یک رویکرد در مدل‌سازی علامت‌های زیرمجموعه‌ای استفاده شده است. این چارچوب با ترکیبی از تکنیک‌های خوشه‌بندی فضایی-زمانی و انحراف پویای زمانی کار می‌کند. از آنجایی که زبان اشاره شامل هر دو بردار ویژگی فضا و زمان است از پراکنده‌گی زمان پویا برای اندازه‌گیری فاصله بین دو نشانه مجاور استفاده می‌شود. این فاصله به عنوان یک بردار ویژگی زمانی در هنگام خوشه‌بندی بردارهای ویژگی فضایی با استفاده از خوشه‌بندی مینیمم بی‌نظمی^۵ مورد استفاده قرار می‌گیرد. این فرآیند به صورت بازگشتی انجام می‌شود تا تمام حرکات میانی را به صورت پویا بدون استفاده از مدل‌سازی صریح یا ضمنی خوشه‌بندی کند [۱۴].

در زمینه تشخیص الفبای ناشنوایان فارسی گزارش‌های زیادی وجود ندارد. اما یکی از بهترین سیستم‌های موجود در [۱۵] معرفی شده که با استفاده از تبدیل موجک و شبکه‌های عصبی، از تصاویر ویدیویی حاصل از یک دوربین دیجیتال اقدام به بازنایی الفبای ناشنوایان می‌نماید. ابتدا قسمت‌های اضافه‌ی عکس‌های رنگی حذف شده، اندازه‌ی آنها تغییرکرده و به حالت سیاه و سفید تبدیل می‌شوند. سپس تبدیل

امروزه بازنایی زبان اشاره ناشنوایان به یک حوزه تحقیقاتی در حال رشد تبدیل شده و تحقیقات زیادی در زمینه تشخیص ژست دست و شناسایی الفبای ناشنوایان صورت گرفته است. استفاده از تصاویر ویدیو و دستکش‌های رنگی و یا نشان‌گذاری شده بسیار مداول است. در اغلب این روش‌ها، مجموعه‌های از بردارهای ویژگی، یک فضای با ابعاد بالاتر را تشکیل می‌دهند که در آن احتمال طبقه‌بندی بهتر الگو افزایش می‌یابد [۱]. مدل‌سازی هندسی دست با در نظر گرفتن ساختار اسکلت آن نیز با موقیت برای شناسایی حرکات و موقعیت دست نسبت به دوربین استفاده شده است [۲، ۳].

اخیراً همراه با ارائه حسگرهای ژرفای ارزان قیمت مانند کینکت، محصول شرکت مایکروسافت، بازنایی زبان اشاره بر اساس اطلاعات تصویر ژرف به دلیل ارائه یک مدل سه بعدی نسبتاً دقیق و عدم نیاز به پوشیدن دستکش و یا رنگ آمیزی خاص، مورد توجه بسیاری از محققین قرار گرفته است. بازنایی بر اساس اطلاعات ژرف معمولاً دقیقتر بوده و گستره‌ی بیشتری از لغات را در مقایسه با تصاویر رنگی دو بعدی در بر می‌گیرد [۴، ۵]. کینکت علاوه بر تصویر ژرف می‌تواند به کمک دوربین رنگی خود که محورش قدری با محور دوربین ژرف متفاوت است، تصاویر ویدیویی دو بعدی را نیز ارائه دهد.

ورما و همکارانش [۶] روشی را ارایه کرده‌اند که با استفاده از حسگر کینکت، همزمان با حرکت دست کاربر به داخل صحنه، ضبط و پردازش تصاویر شروع شده و تا زمانی که هر دو دست کاربر پایین بروند این روش را ادامه می‌دهد. سپس تمام این فریم‌های ضبط شده برای ترجمه توسط سیستم استفاده می‌شوند.

آقای یانگ نیز با استفاده از تصویر ژرفای کینکت مایکروسافت و ارائه یک میدان تصادفی شرطی سلسله مراتبی، ابتدا علامتهای حرکات دست را شناسایی و سپس با کمک یک نقشه‌ی تقویت شده، تشخیص نهایی را انجام می‌دهد [۷].

در روشی دیگر بر مبنای کینکت، از یک کدگذاری برای مدل سازی اشارات مختلف دست استفاده می‌شود. در این روش با توجه به تفاوت بین اشاره‌های زمانی که زبان اشاره شامل هر دو بردار ویژگی فضا و زمان است از نمونه‌های هر دسته از نشانه‌ها آموزش انجام می‌شود. سپس در هر فریم از ویدئوی جدید میزان شباهت با نمونه‌های آموزش دیده بررسی می‌شود. در نهایت بهترین نمونه‌ها برای یک چارچوب فرمول‌بندی شده و بطور هم‌زمان یک طبقه‌بند ویدیویی برای تشخیص علامت تولید می‌شود [۸].

بنگیو نیز از اطلاعات به دست آمده از ژرف توسعه کینکت، با الگوریتم SAE^۶ به فرآیند آموزش ویژگی‌ها پرداخته و با استفاده از الگوریتم آنالیز مولفه‌های اصلی^۷ تحت طبقه‌بندی ماشین بردار پشتیبان^۸ دقت نتایج خود را افزایش می‌دهد [۹]. در روشی دیگر از یک شبکه عصبی کانولوشن به جای ساختن ویژگی‌های پیچیده استفاده شده که به طور خودکار ویژگی‌ها را استخراج می‌کند و توانسته است با دقت ۹۱/۷٪ الفبای اشاره ایتالیایی را با استفاده از کینکت به دست آورد.

⁴ Momory Term - short Long

⁵ Brazilian Sign Language

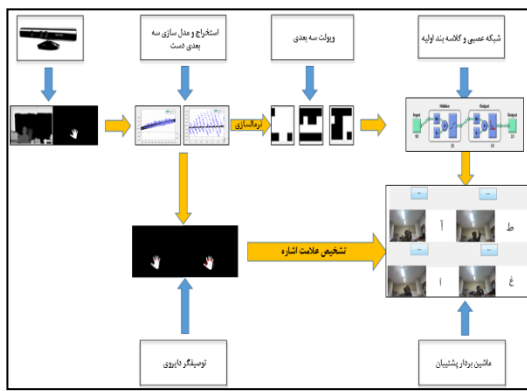
⁶ Minimum Entropy Clustering

¹ Sparse-Auto Encoder

² Principal Component Analysis

³ Support Vector Machine

دست کاربر در فضای سه بعدی به دست آمده و سپس با دوران و انتقال دستگاهها در فضای سه بعدی راستای عمود بر کف دست با راستای دوربین کینکت موازی می‌شود. در بخش سوم و به شکل موازی دو سری ویژگی هندسی از دست استخراج می‌شود. ویژگی نخست از توصیف‌گر دایروی پیشنهادی این مقاله و ویژگی دوم از ضرایب تبدیل موجک اطلاعات دست در فضای سه بعدی به دست می‌آیند. در بخش چهارم نیز با ترکیب همزمان شبکه عصبی و ماشین بردار پشتیبان شناسایی انجام می‌شود. در ادامه هر یک از مراحل فوق با جزئیات بیشتر شرح داده می‌شوند.



شکل ۱) بلوك دیاگرام روش پیشنهادی

۱-۲ استخراج دست انسان از تصاویر ژرفای

کاربر در مقابل دستگاه کینکت و در فاصله ۱۳۰ تا ۱۸۰ سانتی متری قرار گرفته و دست خود را در مقابل بدن و در برابر دستگاه کینکت قرار می‌دهد. این فاصله به شکل تجربی و با توجه به خروجی‌های دستگاه کینکت بدست آمده است. اینک در تصویر عمق با انتخاب یک آستانه مناسب مبتنی بر ژرفای، β ، می‌توان دست را از پس زمینه جدا کرد. این آستانه با توجه به تفاوت‌های ناچیز در اندازه دست کاربران مختلف، مقدار تقریباً ثابتی بر اساس آزمایش‌ها به دست آمده است و بر اساس قطر متوسط دست انسان نرمال سازی شده است. اگر $D(n)$ تصویر عمق دست انسان بدست آمده از دستگاه کینکت باشد و th خاکست متواتر مقدار D_{min} در اینصورت رابطه ۱ روش جداسازی دست از پس زمینه را در تصویر ژرفای نشان میدهد.

$$I(n) = \{D(n); D_{min} \leq D(n) \leq D_{min} + th\} \quad (1)$$

در این رابطه n شماره پیکسل در تصویر ژرفای، D_{min} مقدار ژرفای نزدیکترین جسم به دستگاه کینکت (فرض شده که نزدیکترین جسم به دستگاه دست کاربر باشد) و $I(n)$ تصویر عمق دست است. در سیستم پیشنهادی و برای یک دست متواتر مقدار ۷۵ میلیمتر انتخاب شده است. در شکل ۲ یک نمونه تصویر ویدیو و ژرفای بدست آمده از دوربین کینکت قبل از استخراج دست مشاهده می‌شود. با استفاده از روش پیشنهاد شده تصویر ژرفای دست مطابق شکل ۳ استخراج شده است. برخی موقع بعلت وجود نویز بخش‌های کوچک دیگری نیز در خروجی آستانه گیر مشاهده می‌شود. برای رفع این مشکل بزرگترین جسم را بعنوان دست انتخاب می‌کنیم.

موجک گسسته بر روی عکس‌های سیاه و سفید اعمال شده و تعدادی از ویژگی‌ها استخراج می‌شوند. در نهایت ویژگی‌های استخراج شده برای آموزش یک شبکه عصبی پرسپترون چند لایه استفاده شده است. در سیستم استفاده شده از هیچ نوع دستکش یا سیستم‌های نشانگر استفاده نشده و این سیستم تنها نیاز به تصاویر دست خالی برای بازناسایی نیاز دارد. لازم است که پس زمینه تصاویر مشکل باشد و تنها دست و آن هم در امتداد عمود بر دوربین در تصویر قرار گرفته باشد. نتایج تجربی نشان می‌دهد که این سیستم قابلیت شناسایی ۳۲ حرف الفبای فارسی انتخاب شده را به دقت طبقه‌بندی ۹۴٪/۰۶ را دارد.

در اغلب روش‌های ارائه شده، محدودیت‌هایی برای کاربران مانند پوشیدن دستکش، وبا الزامات محیطی مانند وجود پس زمینه ساده وجود دارد. روش‌هایی با استفاده از فضای رنگی معرفی شدنده که همانطور که مشخص هست در فضای نویزی دقت این الگوریتم‌ها به شدت کاهش می‌یابد [۱۶، ۱۷]. تعدادی از الگوریتم‌ها نیز از لحاظ زمانی و سنجینی محاسبات رنج می‌بند و برای برنامه‌های کاربردی و بلاذرنگ نامناسب است [۱۸، ۱۹]. به علاوه در تعداد زیادی از الگوریتم‌های شناسایی الفبای دست و هم‌چنین بیشتر الگوریتم‌های کارا در زمینه شناسایی الفبای فارسی ناشویانه، وایستگی زیادی به زاویه دست کاربر نسبت به دوربین دارند و از این رو اکثر آن‌ها از یک مجموعه داده خاص با پس زمینه ساده استفاده نموده‌اند [۲۰، ۲۱].

در این مقاله سیستمی معرفی می‌شود که بدون اعمال محدودیت پوششی برای دست افراد ناشنوا و با دقیقی مناسب برای پیاده سازی آنی، شناسایی الفبای فارسی ناشویانه در یک محیط معمولی و واقعی توسط سنسور کینکت انجام می‌شود. ابتدا با کمک اطلاعات ژرفای ناحیه اطراف دست استخراج شده و به این ترتیب پس زمینه حذف می‌شود. مرکز دست با اجرای الگوریتم‌های متواتر مورفولوژی و محاسبه مرکز جرم بدست می‌آید. سپس با استفاده از تبدیل موجک و یک توصیف‌گر جدید که در این مقاله معرفی می‌شود، استخراج ویژگی انجام می‌پذیرد. برای کلاسه‌بندی از دو روش شبکه عصبی و بردارهای پشتیبان استفاده شده است. در نهایت از یک فیلتر مدین برای حذف نویز در نتایج خروجی بازناسایی استفاده شده تا عملیات شناسایی حروف به درستی صورت گیرد.

در ادامه این مقاله و در بخش دوم کلیات سیستم پیشنهادی شامل روش بدست آوردن صفحه گذرنده از کف دست و چگونگی محاسبه مرکز و شعاع کف دست توضیح داده می‌شود. روش استخراج ویژگی در بخش سوم و توصیف گر دایروی در بخش چهارم بررسی می‌شوند. سرانجام نتایج شبیه سازی، مقایسه و جمع بندی نیز فصول پنجم و ششم را تشکیل می‌دهند.

۲- معرفی سیستم پیشنهادی

در این مقاله از ابزار کینکت که توسط شرکت مایکروسافت برای کنسول بازی ایکس باکس تهیه شده است، استفاده می‌نماییم. شکل ۱) بلوك دیاگرام سیستم ارائه شده را نشان می‌دهد. روش پیشنهادی از چهار بخش اصلی تشکیل می‌شود. در بخش نخست و با استفاده از سنسور کینکت دست کار بر از پس زمینه جدا می‌شود. در بخش دوم با استفاده از تکنیک رگرسیون سه بعدی، مختصات صفحه گذرنده از کف

$$D = \frac{ax_p + by_p + z_p + d}{\sqrt{a^2 + b^2 + 1}} \quad (3)$$

برای بدست آوردن مشخصات بهترین صفحه‌ای که از نقاط مرتبط با کف دست در تصویر ژرفای می‌گذرد یک مساله بهینه سازی برای مجموعه نقاط در فضا طرح می‌شود. اگر تعداد نقاط استخراج شده در تصویر ژرفای دست را R در نظر بگیریم، نرم مجموع فواصل این نقاط نسبت به صفحه، D_T از رابطه ۴ بدست می‌آید:

$$D_T = \sum_{i=1}^R |D_i|^2 = \sum_{i=1}^R \left| \frac{ax_i + bx_i + z_i + d}{\sqrt{a^2 + b^2 + 1}} \right|^2 \quad (4)$$

با مشتق گیری نسبت به مولفه‌های a و b و d سه رابطه حاصل می‌شود که در روابط ۵-۷ نشان داده شده‌است.

(۵)

$$\frac{dD_T}{da} = 0 \rightarrow \sum_{i=1}^R \frac{(y_i^2)b^3 + [y_i(ax_i + z_i + d - 1)]b^2 + (a^2y_i^2 + y_i^2 - ax_i - z_i - d)b + (a^3x_iy_i + a^2y_iz_i + a^2y_id + ax_iy_i + z_iy_i + dy_i)}{(a^3x_iy_i + a^2y_iz_i + a^2y_id + ax_iy_i + z_iy_i + dy_i)} = 0$$

(۶)

$$\frac{dD_T}{db} = 0 \rightarrow \sum_{i=1}^R \frac{(x_i)^2a^2 + [x_i(by_i + z_i + d - 1)]a^3 + (b^2x_i^2 + x_i^2 - by_i - z_i - d)a + (b^3y_ix_i + b^2x_iz_i + b^2x_id + bx_iy_i + z_ix_i + dx_i)}{(b^3y_ix_i + b^2x_iz_i + b^2x_id + bx_iy_i + z_ix_i + dx_i)} = 0$$

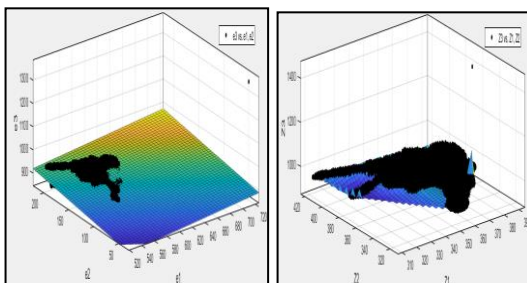
(۷)

$$\frac{dD_T}{dd} = 0 \rightarrow \sum_{i=1}^R ax_i + by_i + z_i + d = 0$$

با قرار دادن سه معادله ۵، ۶ و ۷ در یکدیگر، مولفه‌های a و b و همچنین d مطابق با معادله ۸ محاسبه می‌شود:

$$d = \frac{\sum_{i=1}^R ax_i + by_i + z_i}{R} \quad (8)$$

نرم افزار MATLAB توسط محیط گرافیکی Cftool می‌تواند این مساله را حل نماید. شکل ۴ صفحات استخراج شده برای دو مجموعه نمونه از نقاط مرتبط با تصاویر ژرفای دست را نشان می‌دهد. صفحه پیشنهاد شده به رنگ تیره و پیوسته در تصویر قبل تباخته شده است.



شکل ۴) استخراج صفحه عبور کننده از کف دست در فضای سه بعدی

پس از این مرحله، با استفاده از زوایای صفحه تقریب زده شده نسبت به بردارهای یکه دستگاه مختصات کینکت و نیز اعمال ماتریس‌های دوران ارائه شده برای دو محور X و Y مطابق رابطه (۹) بر تصویر ژرفای



شکل ۲) تصویر اتخاذ شده از دوربین کینکت: بالا تصویر ویدیو. پایین تصویر ژرفای



شکل ۳) دست استخراج شده از شکل ۲ با استفاده از روش آستانه‌گذاری در فضای ژرفای

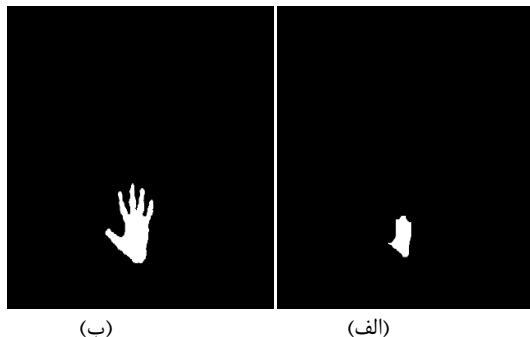
۲-۲- استخراج صفحه گذرنده از کف دست

دست کاربر می‌تواند در فضای آزاد در راستاهای مختلف قرار گیرد که دوران راستای نسبی انگشتان دست نسبت به دوربین کینکت را تعیین خواهد داد. برای حل مشکل ابتدا با کمک رگرسیون خطی صفحه فرضی عبور کننده از کف دست در فضا شناسایی شده و سپس به کمک ماتریس‌های دوران و انتقال، راستای عمود بر این صفحه با محور کینکت در یک راستا قرار می‌گیرد. به این ترتیب اثرات مربوط به چرخش در سمت (یا) و ارتفاع (پیچ) حذف خواهد شد. برای حذف اثر چرخش حول محور طولی (رول) نیز از توصیف گر دایروی که در بخش بعدی معرفی می‌شود استفاده خواهد شد. رابطه ۲ معادله یک صفحه در فضای سه بعدی را نشان می‌دهد [۲۲، ۲۳].

$$ax + by + z + d = 0 \quad (2)$$

فاصله یک نقطه با مختصات $(x_p, y_p, z_p)^T$ تا صفحه فوق نیز به کمک رابطه ۳ محاسبه می‌شود:

در این رابطه E یک فضای اقلیدسی و A یک تصویر باینری است. B_z در موقع بروگردان B بوده و با حرکت روی تصویر باینری آن را سایش می‌دهد. شکل ۶ تصور کف دست را قبل و بعد از عملیات سایش نشان می‌دهد. همان‌طور که مشاهده می‌شود، توده‌ی کف دست انسان به جا مانده و انگشت‌های در شکل ۶ ب حذف شده‌است.



شکل ۶) عملیات سایش: (الف) تصویر دو سطحی دست قبل از سایش (ب) استخراج توده کف دست بوسیله عملیات سایش

برای به دست آوردن مرکز کف دست ابتدا با استفاده از اصل به هم پیوستگی، توده‌های V را به ترتیب بر اساس بالاترین بهم پیوستگی تا پایین‌ترین آن برچسب گذاری می‌کنیم. این برچسب گذاری در حقیقت نماینده وزن آن توده به هم پیوسته می‌باشد و در بازه $[1, n]$ قرار می‌گیرد.

$$W_V = (n - V + 1)X \quad (12)$$

در این رابطه n تعداد توده‌های شامل یک یا چند پیکسل در تصویر شامل دست بوده و X پایین‌ترین وزن یک توده در تصویر می‌باشد. در رابطه (۱۲) مجموع وزن‌های موجود در تصویر را مشاهده می‌نمایید.

$$\sum_{V=1}^n W_V = 1 \quad (13)$$

این رابطه می‌تواند بصورت رابطه زیر ساده شود:

$$\sum_{L=0}^{n-1} (n - L)X = 1 \quad \text{then } X = \frac{1}{\sum_{L=0}^{n-1} (n - L)} \quad (14)$$

سپس مرکز توده ۰ از رابطه ۱۵ محاسبه می‌شود:

$$0 = \frac{\sum_{V=1}^n \sum_{k=1}^{CV} W_V q_{k_V}}{\sum_{V=1}^n W_V C_V} \quad (15)$$

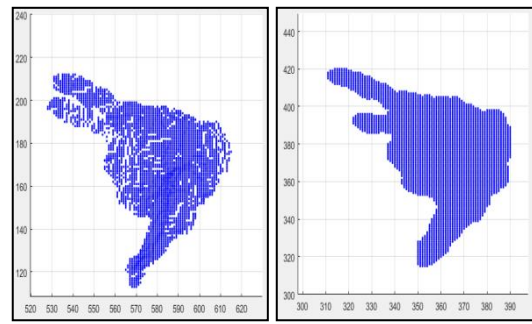
در این رابطه C_V ، تعداد پیکسلهای توده V ام و q_{k_V} مختصات پیکسل k ام از خوشة V ام را نشان می‌دهد. پس از به دست آوردن مرکز دست، به محاسبه شعاع کف دست، ۲ می‌پردازیم. مقدار ۲ را به صورت بهینه از

دست، می‌توان چرخش و زاویه دست ناخواسته کاربر نسب به محورهای مختصات x و y را حذف نمود [۲۴].

$$R_x = \begin{bmatrix} 1 & 0 & 0 \\ 0 & \cos(\alpha) & -\sin(\alpha) \\ 0 & \sin(\alpha) & \cos(\alpha) \end{bmatrix} \quad (9)$$

$$R_y = \begin{bmatrix} \cos(\beta) & 0 & \sin(\beta) \\ 0 & 1 & 0 \\ -\sin(\beta) & 0 & \cos(\beta) \end{bmatrix}$$

شکل ۵ نتیجه انجام دوران بر روی مجموعه نقاط سه بعدی مرتبط با شکل ۴ را با بزرگنمایی نشان می‌دهد.



شکل ۵) هم‌راستای اطلاعات ژرفای دست با اعمال ماتریس دوران بر نقاط سه بعدی برای شکل ۴

پس از حذف دوران از اطلاعات ژرفای دست لازم است که اندازه دست نیز با توجه به معیارهای هندسی موجود در دست انسان نرم‌السازی شود. به این ترتیب اثر تغییرات فاصله تا دوربین و یا بزرگی و کوچکی دست نیز حذف خواهد شد. معادلات ۱۰ و ۱۱ روش نرم‌السازی شعاع کف دست و فاصله آن تا دوربین کینکت را نشان می‌دهند:

$$N_r = \frac{R_{New}}{R_{Reference}} \quad (10)$$

$$N_D = \frac{D_{New}}{D_{Reference}} \quad (11)$$

در روابط فوق R_{New} شعاع کف دست کاربر و $R_{Reference}$ شعاع کف دست مرجع و N_r ضریب نرم‌السازی شعاعی است. به همین ترتیب N_D ضریب نرم‌السازی ژرفای، D_{New} فاصله کف دست کاربر با کینکت و $D_{Reference}$ فاصله کف دست مرجع نسبت به دوربین کینکت است. برای انجام این عمل ابتدا لازم است که مرکز و شعاع دست بدست آیند.

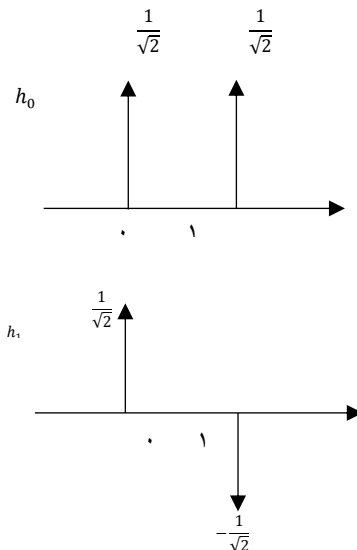
۲-۳-۲- استخراج مرکز و شعاع کف دست

امروزه از الگوریتم‌های مورفولوژی در علم پردازش تصویر برای کاربردهای گوناگونی از جمله شناسایی محل ترک خوردگی، نقاط آسیب دیده و همچنین ترمیم تصویر استفاده می‌شود. در این سیستم استخراج مرکز و شعاع کف دست با استفاده از تکنیک سایش انجام شده‌است. سایش تصویر A بر اساس روابط ریاضی در تصاویر باینری توسط ساختار عنصر B از رابطه (۱۲) پیروی می‌کند.

$$A \ominus B = \{ z \in E | B_z \subseteq A \} \quad (11)$$

۱-۳ تبدیل موجک هار برای استخراج ویژگی

در این مقاله از تبدیل موجک هار برای کدکردن تصاویر ژرفای حروف الفبای فارسی برای خانواده‌های مختلف تعریف شده استفاده شده است. شکل ۸ بردارهای پایه h_0 و h_1 در بانک فیلترهای ویولت هار را نشان می‌دهد.



شکل ۸) ضرایب پایه های برداری ویولت هار در بانک فیلتر

برای اجرای یک مرحله از تبدیل ویولت، تقریب تصویر و جزیيات افقی و عمودی و قطری تصویر برای یک تصویر F با ابعاد m^*n روابط (۱۸) تا (۲۱) برقرار است.

(۱۸)

$$A_1 = \frac{1}{2}(F(2m, 2n) + F(2m-1, 2n) + F(2m, 2n-1) + F(2m-1, 2n-1))$$

(۱۹)

$$H_1 = \frac{1}{2}(F(2m, 2n) + F(2m-1, 2n) - F(2m, 2n-1) - F(2m-1, 2n-1))$$

(۲۰)

$$V_1 = \frac{1}{2}(F(2m, 2n) - F(2m-1, 2n) + F(2m, 2n-1) - F(2m-1, 2n-1))$$

(۲۱)

$$D_1 = \frac{1}{2}(F(2m, 2n) - F(2m-1, 2n) - F(2m, 2n-1) + F(2m-1, 2n-1))$$

نمای کلی از تبدیل ویولت بر اساس بانک فیلتر در شکل ۹ نشان داده شده است.

کمترین مقدار ممکن غیر صفر آغاز نموده و تابع هزینه را مطابق رابطه (۱۶) در نظر می‌گیریم.

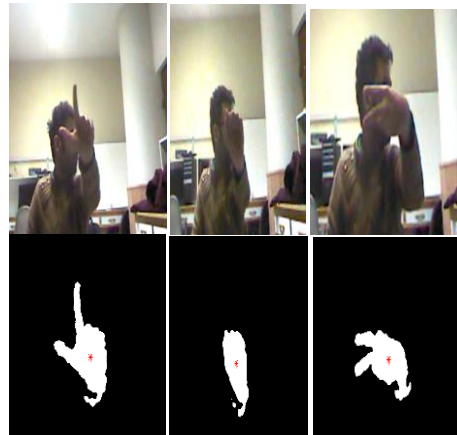
(۱۶)

$$J(r) = \sum_{\theta=0}^{2\pi - Res(\theta)} |(r - rp_{\theta})(Cos(\theta) + Sin(\theta))|^2$$

مقدار $Res(\theta)$ در واقع رزولوشن اندازه‌گیری بر محیط دایره رسم شده را نشان می‌دهد و هر چه مقدار کوچکتر انتخاب شود، r با دقت بهتری محاسبه شده و زاویه θ با مقدار آن در رابطه $J(r)$ افزایش می‌یابد. rp_{θ} در واقع شعاع در راستای زاویه θ می‌باشد که مقدار آن با افزایش طول در راستای زاویه θ ، تا جایی که به اولین مقدار غیر صفر در آن توده بررسد، محاسبه می‌شود و مقدار ثابتی برای هر یک از زوایای مورد نیاز به دست می‌آید. در رابطه (۱۸) با مشتق گیری نسبت به r تابع هزینه را برابر با صفر قرار داده و از آن طبق روابط (۱۹) مقدار ۲ بهینه محاسبه می‌شود. شکل ۵ مرکز دست استخراج شده را برای سه نمونه نشان می‌دهد.

(۱۷)

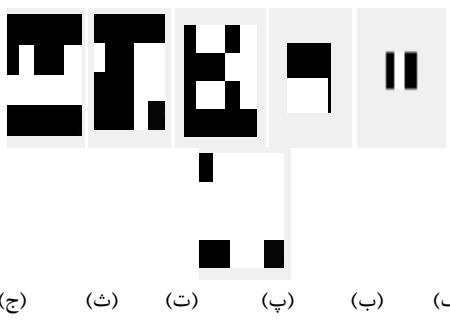
$$J'(r) = 0 \rightarrow \sum_{\theta=0}^{2\pi - Res(\theta)} (-rp_{\theta})(Cos(\theta) + Sin(\theta))^2(r - rp_{\theta}) = 0 \\ r = -\frac{\sum_{\theta=0}^{2\pi - Res(\theta)} (rp_{\theta}(Cos(\theta) + Sin(\theta))^2)}{\sum_{\theta=0}^{2\pi - Res(\theta)} rp_{\theta}(Cos(\theta) + Sin(\theta))^2}$$



شکل ۷) استخراج مرکز دست برای سه نمونه از حروف الفبای ناشنوايان

۳- استخراج ویژگی

پس از طی مراحل ساده‌سازی تصویر و پیدا نمودن مدل هندسه دست، حال نوبت به استخراج ویژگی می‌رسد. در این روش، ابتدا با استفاده از تبدیل موجک هار یک فرآیند استخراج ویژگی صورت گرفته سپس از یک توصیف‌گر دایروی برای قدرتمندتر نمودن ابزار شناسایی استفاده می‌شود که است انگشتان ایستاده در تصویر را بیابد. خروجی هر یک از این دو ابزار استخراج ویژگی به ترتیب توسط شبکه‌های عصبی و بردارهای پشتیبان دسته‌بندی شده که در ادامه به تشریح آن‌ها خواهیم پرداخت.



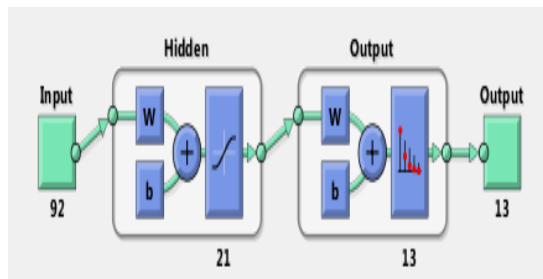
شکل ۱۱) کدساری شکل ۸ با اعمال تبدیل موجک: (الف) تقریب سطح ششم، (ب) جزییات افقی سطح ششم، (پ) جزییات عمودی سطح ششم، (ت) جزییات قطری سطح ششم، (ث) جزییات افقی سطح هفتم، (ج) جزییات عمودی سطح هفتم

۲-۳- شبکه عصبی برای استخراج ویژگی

در سالهای اخیر، استفاده از دسته‌بندی‌های مبتنی بر شبکه‌های عصبی برای حل مسائل پیچیده غیرخطی رشد روزافزونی داشته است. پس از کدنمودن هر یک از حالت‌های دست، در این سیستم همانند مرجع [۱۵] از شبکه‌های عصبی برای دسته‌بندی ویژگی‌های به دست آمده از تبدیل موجک استفاده می‌کنیم. در شبکه عصبی طراحی شده ازتابع غیر خطی سیگموئید مطابق رابطه (۲۳) در لایه میانی استفاده شده است [۲۶].

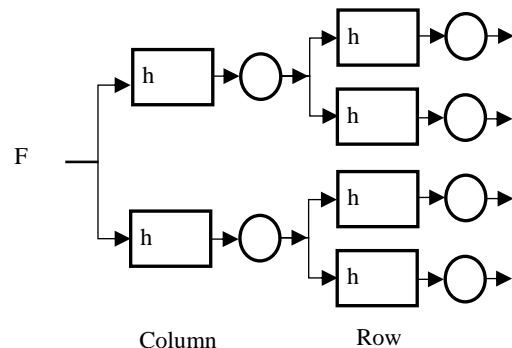
$$Tansig(n) = \frac{2}{1 + e^{-2n}} - 1 \quad (23)$$

شکل ۱۲) ساختار کلی شبکه عصبی مورد استفاده در این مقاله را نشان میدهد که شامل لایه ورودی با ۹۲ نرون، لایه خروجی با ۱۳ نرون و لایه مخفی با ۲۱ نرون است.



شکل ۱۲) بلوک دیاگرام شبکه عصبی طراحی شده

به شکل تحریی مشخص شد که شبکه عصبی قادر به تشخیص تمامی حروف الفبا نیست به همین دلیل تنها ۱۳ نرون در لایه خروجی برای تشخیص ۱۳ خانواده متفاوت که در جدول ۱ مشخص شده اند، منظور شده است. در مرحله آموزش برای هر خانواده ۲۰ فریم متفاوت و در مجموع ۲۶۰ فریم در نظر گرفته شد. الگوریتم پس انتشار خطای آموزش وزنها در شبکه عصبی بکار گرفته شد. پس از اتمام آموزش از مجموعه داده جدیدی برای تست شبکه عصبی استفاده شد.



شکل ۹) شماتیکی تبدیل ویولت استفاده شده [۱۵]

ابتدا سایز هر فریم ورودی حاصل از پردازش تصاویر عمق را به مقدار 200×300 تغییر داده تا برای اعمال تبدیل موجک آمده شود. فرآیند گفته شده را عملیات پیش‌پردازش جهت آماده‌سازی تصاویر برای اعمال تبدیل موجک می‌نماییم که در شکل ۱۰ نمونه‌ای از آن قابل مشاهده است.



شکل ۱۰) نصویر کف دست بر مبنای اطلاعات ژرف

سپس تبدیل موجک اعمال می‌شود. بر اساس آزمایش‌های متعدد و به دلیل سادگی و کارا بودن در این تحقیق، از تبدیل موجک هار استفاده شده است و بعد از ۷ مرحله تبدیل موجک که هر مرتبه روی تقریب موجک مرحله قبل اجرا می‌شود، بردار ویژگی رابطه (۲۲) به دست می‌آید. از این بردار ویژگی هدف زیر دنبال می‌شود:

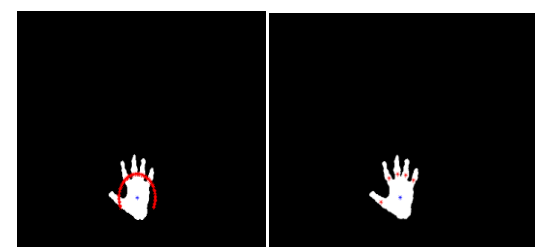
- اختصاص یک کد به هر تصویر و کاهش ابعاد فضای ویژگی
- بردار ویژگی مناسب و کافی و بهینه برای تمییز دادن حروف مختلف

$$F = [A(6) \ H(6) \ V(6) \ D(6) \ H(7) \ D(7)] \quad (22)$$

مولفه‌های A، H، V و D به ترتیب ضرایب تقریب تصویر، جزییات افقی، جزییات عمودی و جزییات قطری را در بر داشته و اعداد داخل پرانتز سطح تبدیل موجک گرفته شده را نشان می‌دهد. ضرایب را به صورت ستونی تعریف نموده و از F یک بردار ویژگی ۹۲ بعدی ساخته خواهد شد که در واقع کد مورد نظر برای حالت دست می‌باشد. شکل ۱۱ تصاویر حاصل از کدساری شکل ۱۰ را نشان می‌دهد.

جدول ۱: گروه‌بندی خانواده حرف‌های پیشنهادی توسط شبکه عصبی

حروف پیشنهادی	خانواده حرف پیشنهادی
آ	آ، آ، ع، غ
آ	آ، آ، ی، ه
ع	ع، غ، ن
گ	ع، ه، گ، ن، ل
غ	آ، ع، ه، غ، ن
ه	ه، ن
ل	آ، ل، گ، ی
م	م، ع
ن	ه، م، ن، ی، گ
آ	گ، ل، آ
ط	ل، ط، ی، م
ی	ل، ی، گ



شکل ۱۳) توصیفگر دایروی: نمایش مرکز و نماینده هر انگشت در تصویر جداسازی شده دست

این زوایا هر کدام به عنوان یک ویژگی در ورودی بردار ویژگی حاصل از این قسمت در نظر گرفته خواهد شد. ضخامت هر انگشت نیز با توجه به تعداد نقاط برجسته قرارگرفته شده روی هر قسمت به هم پیوسته از دایره توصیفگر مشخص می‌شود. بدین ترتیب بردار ویژگی $X = [T_1 \ T_2 \ T_3 \ T_4 \ T_5 \ \theta_1 \ \theta_2 \ \theta_3 \ \theta_4 \ \theta_5]$

حاصل از این توصیفگر برای هر دست شامل ۱۰ ویژگی است که به ترتیب پهنا و زاویه هر انگشت را نشان می‌دهد. در صورت عدم وجود هر کدام از انگشت‌ها مقادیر صفر برای زاویه و ضخامت آن در نظر گرفته می‌شود. در شکل ۱۴ سه کاربر مختلف یک حرف را به نمایش گذاشته‌اند. توصیفگر دایروی بر روی تصویر ژرفای استخراج شده اعمال شده است. همان‌گونه که قابل مشاهده است وضعیت دو انگشت اول به خوبی تمییز داده می‌شود.



شکل ۱۴) تصویر حرف الف توسط ۳ شخص متفاوت و اعمال توصیفگر دایروی

با انجام آزمایش‌های متعدد، طول شعاع مرجع مقدار ثابت ۳۶ پیکسل و مقدار ژرفای مرجع ۸۶ سانتی‌متر به دست آمده است. نکته حائز اهمیت در شعاع توصیفگر مقدار C می‌باشد. به دلیل وابستگی خطای اندازه‌گیری عمق در کینکت به فاصله کاربر تا دوربین، مقدار ثابتی برای این ضریب نمی‌توان یافت. اگر کاربر دست خود را در فاصله‌ای بین ۸۰ تا ۱۳۰ سانتی‌متر از دستگاه کینکت قرار دهد رابطه ۲۶ مقدار C مناسب را نشان میدهد.

C مقدار ثابتی است که با توجه به آزمایش‌های متنوع در دو شرایط خاص بنا به فاصله دست تا دوربین و مقدار N_r به دست می‌آید. دایره

توصیفگر ویژگی‌های جالب توجهی همچون زوایای انگشتان ایستاده و

ضخامت انگشتان برای تشخیص به هم چسبیدگی دو یا چند انگشت را

در اختیار قرار می‌دهد. به این منظور بعد از نرمال‌سازی تصویر ژرفای دست، دایره‌ای

از مرکز کف دست ترسیم می‌شود که بتواند انگشتان دست را قطع نماید.

شعاع این دایره با بررسی مشخصات هندسی دست بیش از ۵۰ نفر و با

استفاده از رابطه ۲۶ بدست می‌آید:

$$R = \begin{cases} C \times N_D \times N_r & , D_{New} < D_{Refrence} \\ \frac{C \times N_r}{N_D} & , D_{New} \geq D_{Refrence} \end{cases} \quad (24)$$

با در نظر گرفتن مرکز کف دست به عنوان نقطه مرجع می‌توان برای هر انگشت زاویه‌ای مطابق رابطه ۲۵ ارائه کرد:

$$\theta = \tan^{-1}\left(\frac{y_{PALM} - y_{FINGER}}{x_{PALM} - x_{FINGER}}\right) \quad (25)$$

۵- نتایج شبیه‌سازی

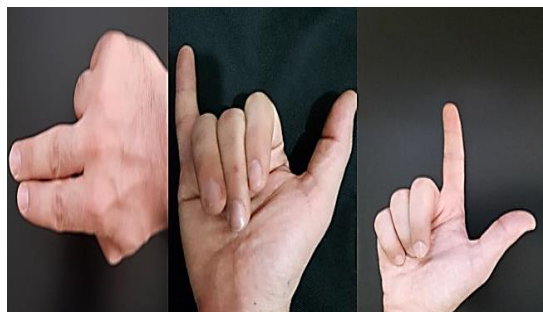
در این بخش نتایج حاصل از پیاده سازی الگوریتم پیشنهادی نشان داده می‌شود. در شکل ۱۷ نمایش سه حرف آ، ط و غ در رابط گرافیکی کاربر نوشته شده در نرم‌افزار متلب را مشاهده می‌کنید.



شکل ۱۷) نمایش چهار حرف از الفبای ناشنوایان تحت سیستم پیشنهادی

برای مقایسه روش پیشنهادی، عملکرد الگوریتم مرجع [۱۵] که در زمان نگارش این مقاله معتبرترین روش موجود در زمینه بازشناسی الفبای فارسی ناشنوایان می‌باشد، استفاده شده‌است. این مرجع از اطلاعات تصویر رنگی استفاده کرده و این تصاویر در شرایط ایده آل و با پس‌زمینه کاملاً ساده و سیاه رنگ تهیه شده‌اند. معیار مقایسه انتخابی نیز میزان موفقیت‌آمیز بودن تشخیص حروف است که با رابطه (۲۷) تعریف می‌شود.

$$\frac{\text{تعداد شناسایی درست}}{\text{تعداد کل آزمونها}} \times 100 = \text{نرخ بازنمایی} \quad (27)$$



شکل ۱۸) بخی از مجموعه داده ساخته شده برای مقایسه با مرجع [۱۵]

برای ایجاد پایگاه داده مورد نیاز جهت پیاده سازی و مقایسه با مرجع [۱۵] در مجموع ۴۲۳ فریم تهیه شد. شکل ۱۸ نمونه‌ای از این مجموعه داده را نشان می‌دهد. یک دوربین گالکسی A8 با رزوشن ۱۶

$$C = \begin{cases} 65, & (N_D < 1 \text{ OR } N_D > 1.11) \text{ AND } (N_r \leq 0.85) \\ 50 & \text{Otherwise} \end{cases} \quad (26)$$

حال پس از تعیین مقدار C و مقادیر مرجع، با داشتن شعاع و مینیمم فاصله در هر فریم، ضرایب نرمال‌سازی به دست می‌آید. سپس دایره‌ای به شعاع توصیف‌گر و رزوشن $Res(\theta) = \frac{\pi}{50}$ رسم می‌نماییم تا خامات انگشتان و محل آنها یافت می‌شود. در شکل ۱۵ نتیجه توصیف‌گر پیشنهادی برای هندگامی که دست در فواصل به ترتیب از چپ، ۱۰۱ سانتی‌متری، ۱۲۷ سانتی‌متری و ۸۴ سانتی‌متری قرار گرفته است، نشان می‌دهد.



شکل ۱۵) نمایش حرف "ئ" توسط ۳ کاربر متفاوت و اعمال توصیف‌گر دایروی

همانگونه که شرح داده شد شبکه عصبی استفاده شده حروف را به سیزده خانواده مختلف دسته بندی می‌کند. این خانواده‌ها در جدول ۱ ارائه شده‌اند. اینک و برای جداسازی کلاس‌های موجود در هر خانواده از یک ماشین بردار پشتیبان تحت یک کرنل خطی بر مبنای حد حاشیه نرم ۱ استفاده می‌شود [۲۸، ۲۹]. ایده استفاده از کرنل خطی به جای استفاده از انواع غیرخطی آن، حجم محاسبات پایین آن و مناسب‌تر بودن برای پیاده‌سازی برخط می‌باشد. در مرحله آموزش برای هر کلاس ۳۰ نمونه از داده‌های آموزشی با استفاده از ویزگی‌های آناتومیکی ساخته شده‌است. با اعمال مد آماری، کلاسی که در رقابت با کلاس‌های دیگر بیشترین موفقیت را داشته است به عنوان کلاس برنده انتخاب می‌شود. برای تضمیم‌گیری نهایی خروجی‌های شبکه عصبی و ماشین بردار پشتیبان برای فریم‌های متوالی تصویر ژرف بدست آمده و یک فیلتر مذین بر بروی آخرین ده نمونه اجرا می‌شود. نتیجه این فیلتر خروجی اصلی خواهد بود. به این ترتیب اگر در بیش از شش فریم خروجی بردارهای پشتیبان به یک حرف اشاره نمایند حرف موردنظر نمایش داده می‌شود. هدف از این عملیات، حذف نویز از خروجی حاصل از نمایش یک فیلم و قابل اعتماد نمودن الگوریتم می‌باشد.

^۱ Soft Margin

الگوریتم در محیطی غیر از متلب می‌توان سرعت پردازش را از چهار فریم در ثانیه به مقادیر بیشتر نیز افزایش داد.

۷- مراجع

- [1] Moghadam M., Nahvi, M. Hassanzadeh, 2011, "Static Persian Sign Language Recognition Using Kernel-Based Feature Extraction", 7th Iranian IEEE Machine Vision and Image Processing (MVIP).
- [2] Wang, L. C., Wang, R., Kong, D., Yin, B., 2014, "Similarity Assessment Model for Chinese Sign Language Videos", IEEE Transaction on Multimedia, 16, pp.751 – 761.
- [3] Huang, J., Zhou, W., Li, H., Li, W., 2015, "Sign language recognition using 3d 1430 convolutional neural networks", Multimedia and Expo (ICME), IEEE International Conference on IEEE, pp.1–6.
- [4] Agris, U. V., Zieren, J., Canzler, U., Bauer, B., Kraiss, K. 2008, "Recent developments in visual sign language recognition", Universal Access in the Information Society, 6(4), pp.323-362.
- [5] Shah, N. K., Rathod, R. K., Agrawat, J. S. 2014, "A survey on Human Computer Interaction Mechanism Using Finger Tracking", International Journal of Computer Trends and Technology (IJCTT). 7(3), pp. 174-177.
- [6] Verma, H. V., Aggarwal, E., Chandra, S., 2013, "Gesture recognition using kinect for sign language translation", IEEE Second International Conference on IEEE Image Information Processing (ICIIP).
- [7] Yang, H.D., 2014, "Sign language recognition with the kinect sensor based on conditional random fields", Sensors 15(1), pp.135-147.
- [8] Sun, C., Zhang, T., Bao, B., Xu, C., Mei, T., 2013, "Discriminative Exemplar Coding for Sign Language Recognition with Kinect", IEEE Transaction on Cybernetics, 43, pp.1418 – 1428.
- [9] Li, S.Z., Yu, B., Wu, W., Su, S.Z., Ji, R.R., 2015, "Feature learning based on SAE-PCA network for human gesture recognition in rgbd images", Neurocomputing, 151, pp.565–573.
- [10] Liu, T., Zhou, W., Li, H., 2016, "Sign language recognition with long short-term memory", IEEE International Conference on Image Processing (ICIP), pp.2871–2875.
- [11] Almeida, S.G.M., Guimaraes, F.G., Ramírez, J.A., 2014, "Feature extraction in Brazilian sign language recognition based on phonological structure and using rgbd sensors", Expert Systems with Applications, 41, pp.7259–7271.
- [12] Lim, M.K., Tan, W.C. A., Tan, C.S., 2016, "A feature covariance matrix with serial particle filter for isolated sign language recognition", Expert Systems with Applications, 54, pp.208-218.

مگاپیکسل برای تصویر برداری استفاده شده است. دو کاربر متفاوت الگوهای مورد نیاز را با قرار دادن دست خود در فاصله ۵۰ سانتی متری از دوربین و در مقابل یک صفحه سیاه رنگ تامین کرده اند. از این میان ۲۷۶ الگو برای آموزش شبکه عصبی استفاده شده است. جدول ۲ نتایج پیاده سازی روش پیشنهادی و روش ارائه شده در مرجع [۱۵] را برای تشخیص تک تک حروف الفبای فارسی ناشنوايان نشان میدهد.

جدول ۲: مقایسه میزان موفقیت تشخیص حروف در روش

پیشنهادی و روش [۱۵]

حرف	دقت در [۱۵]	دقت در سیستم پیشنهادی
آ	%۸۱/۸۱	%۹۶
آ	%۸۱/۸۱	%۹۸/۷۱
ع	%۹۰/۹	%۸۹/۲۸
گ	%۹۵/۴۵	%۹۶
غ	%۱۰۰	%۱۰۰
ه	%۹۰/۹	%۹۵/۸۵
ل	%۱۰۰	%۹۴
م	%۹۰/۹	%۱۰۰
ن	%۹۰/۹	%۹۱/۵
أ	%۸۱/۸۱	%۱۰۰
ط	%۱۰۰	%۱۰۰
ى	%۹۰/۹	%۱۰۰

همانطور که مشاهده می‌کنید نرخ بازناسی در سیستم پیشنهادی رشد و بهبود یافته است و نرخ بازناسی کل سیستم پیشنهادی برابر %۹۶/۷ می باشد.

الگوریتم پیشنهادی توسط نرم افزار Matlab و بر روی یک کامپیوترا پردازنده ۲/۳ گیگاهرتز و ۴ گیگابایت حافظه اجرا شده است. به شکل متوسط برای هر فریم از تصویر ژرفا ۲۵۰ میلی ثانیه زمان لازم است. برای حذف نویز در خروجی از یک فیلتر مدین بر روی آخرین هشت نمونه استفاده می شود. به این ترتیب خروجی نهایی با حدود دو ثانیه تاخیر قبل مشاهده است.

۶- نتیجه گیری

روش ارائه شده در این تحقیق با کمک دستگاه کینکت این امکان را فراهم می سازد که به شکل عملی و بدون در نظر گرفتن شرایط خاص برای محیط تصویر برداری و یا پوشیدن دستکش های مخصوص، بتوان الفبای ناشنوايان فارسی را تشخیص داد. تشخیص برخی از این عالیم با توجه به اینکه تنها با جایجاوی مختصر انگشتان در محور طولی متمایز شده اند، با استفاده از تصاویر عادی بسیار سخت است. در روش پیشنهادی استفاده از تصاویر ژرفا امکان این تمایز فراهم شده است. اجرای الگوریتم در این فضای امکان بی اثر کردن دوران دست کاربر در راستای محورهای مختصات را فراهم ساخته و به این ترتیب دقیق تر تشخیص را تا ۹۶/۷٪ افزایش می دهد. مطمئنا در صورت پیاده سازی

- the backpropagation method”, Biological Cybernetics, 59, pp.257–263.
- [27] M. T., Demuth, H. B., Beale, M. H., De Jesús O., Neural network design, 2nd edition, Hagan, (2014),
- [28] Duda, R. O., Hart, P. E., Stork, D. G., 1973, “Pattern classification”, Journal of Classification, 24, pp.305–307.
- [29] Fukunaga, Keinosuke, Introduction to statistical pattern recognition, Elsevier, 2013.
- [13] Zhao, R., Martinez, M. A., 2016, “Labeled Graph Kernel for Behavior Analysis”, IEEE Transaction on Pattern Analysis and Machine Intelligence, 38, pp.1640 – 1650.
- [14] Elakkiya, R., Selvamani, K. 2017, “Enhanced dynamic programming approach for subunit modelling to handle segmentation and recognition ambiguities in sign language”, Journal of Parallel and Distributed Computing.
- [15] Karami, A., Zanj B., Kiani A. 2011, “Persian sign language (PSL) recognition using wavelet transform and neural networks”, Expert Systems with Applications, 38(3), pp.2661-2667.
- [16] Wang, C., Liu, Z., Chan S., 2015, “Superpixel-Based Hand Gesture Recognition with Kinect Depth Camera”, IEEE Transaction on Multimedia, 17, pp. 29 – 39.
- [17] Neiva D. H., Zanchettin C. 2018, “Gesture Recognition: a Review Focusing on Sign Language in a Mobile Context”, Expert Systems with Applications.
- [18] Albrecht, I., Haber, J., Seidel, H. 2003, “Construction and animation of anatomically based human hand models”, Proceedings of ACM SIGGRAPH / Eurographics Symposium on Computer Animation SCA '03, pp.98-109.
- [19] Caillette, F., Galata, A., Howard, T., 2008, “Real-time 3-d human body tracking using learnt models of behavior”, CVIU, 109(2), pp 112-125.
- [20] Francke, H., Solar J, R., Verschae, R., 2007, “Real time hand gesture detection and recognition using boosted classifiers and active learning”, Advances in Image and Video Technology, 4872, pp.533-547.
- [21] Krotosky, S., Trivedi, M., 2006, “Registration of Multimodal Stereo Images Using Disparity Voting from Correspondence Windows”, IEEE International Conference on Video and Signal Based Surveillance. pp. 91-91.
- [22] Markelj, P., Tomažević, D., Likar, B., Pernuša, F. 2012, “A review of 3D/2D registration methods for image-guided interventions”, Medical image analysis, 16(3), pp.642-661.
- [23] Pizzoli, M., Forster, C., Scaramuzza, D. 2014, “REMODE: Probabilistic, monocular dense reconstruction in real time”, IEEE International Conference on Robotics and Automation (ICRA).
- [24] Craig, J. J. 2009, Introduction to Robotics: Mechanics and Control (3rd Edition).
- [25] Van den Bergh, M., Van Gool L., 2011, “Combining RGB and ToF cameras for real-time 3D hand gesture interaction”, IEEE Workshop on Applications of Computer Vision (WACV).
- [26] Vogl, T. P., Mangis, J.K., Rigler, A.K., Zink, W.T., Alkon, D.L. 1988, “Accelerating the convergence of